

تحديد الحديد الثنائي باستخدام الكاشف العضوي ٤ - [٤-أمينو-٣-هيدروكسي فينيل] ديازينيل]-٣-هيدروكسي نفتالين-١- حمض السلفون بالطريقة الطيفية اللونية

* أ.د. محمد معروف *

* عمار خضر اسماعيل *

(تاریخ الإیداع ٩/١١/٢٠٢٥ - تاریخ النشر ١١/٣/٢٠٢٥)

ملخص □

درست إمكانية تشكيل معقد ملون بين الحديد (II) - [٤-أمينو-٣-هيدروكسي فينيل] ديازينيل] - ٣-هيدروكسي نفتالين-١- حمض السلفون بهدف استخدامه في تحديد الحديد في محليله المائية بالطريقة الطيفية الضوئية؛ إذ تبين أن الكاشف المذكور يشكل مع الحديد (II) معقداً ملوناً بلون أصفر-برتقالي بوجود منظم البريتون $\text{pH}=5$. دلت الدراسة التجريبية لطيف امتصاص محلول المعقد المتشكل، أن طول الموجة الموقعة لامتصاص أعظمي هو 415 nm ، وهو طول الموجة الذي استخدم من أجل تحديد كافة القرائن الكمية المتعلقة بهذا المعقد، فكانت نسبة التفاعل بين الكاشف وال الحديد (II)، (1:2) وبلغت أكبر قيمة لمعامل الامتصاص المولى $=2.664 \times 10^4 \text{ l.mol}^{-1}.\text{cm}^{-1}$ وثبتت تشكل المعقد محققاً ضمن المجال $0.2-6 \text{ mg/l}$ وحد عملية تشكيل المعقد حديد - كاشف، حيث كان قانون بير-لامبرت محققاً ضمن المجال 0.052 mg/l ، اختبرت الطريقة المطورة على عينات عيارية للحديد ولم تتجاوز قيم الانحراف المعياري النسبي المئوي القيمة 4.76% والاسترجاعية ضمن المجال $98.3-105\%$ ، مما يدل على صحة ودقة الطريقة وإمكانية استخدام الكاشف لتحديد الحديد (II).

الكلمات المفتاحية:) ٤- [٤-أمينو-٣-هيدروكسي فينيل] ديازينيل]-٣-هيدروكسي نفتالين-١- حمض السلفون، طريقة طيفية مباشرة، تحديد الحديد (II) في المجال الطيفي الضوئي المرئي.

*أستاذ- قسم الكيمياء- كلية العلوم- جامعة اللاذقية- اللاذقية- سوريا.

** طالب دكتوراه- قسم الكيمياء- كلية العلوم- جامعة اللاذقية- اللاذقية- سوريا.

Determination of Iron (II) using the organic reagent 4-[[(4-amino-3-hydroxyphenyl) diazenyl]-3- hydroxynaphthalene-1-sulfonic acid by Spectrophotometric method

Dr. Mohammad Maarouf *
Ammar Kheder Ismaiel **

(Received 9/9/2025 Accepted 3/11/2025)

□ABSTRACT □

The possibility of formatting a colored complex between Fe^{2+} ions and 3-Hydroxy-4-[(2-hydroxy benzylidene) amino] naphthalene-1- Sulphonic Acid was studied by spectrophotometric method for determination of Iron in aqueous solutions. The reagent reacts in aqueous medium in presence Britton buffer ($\text{pH}=5$) to give a Yellow-Orange complex with maximum absorbance at $\lambda_{\text{max}}=415\text{nm}$. The stoichiometric composition of complex is (1:2). The molar absorptivity and complex constant formation were found to be $\epsilon=2.664\times10^4\text{l. mol}^{-1}\cdot\text{cm}^{-1}$ and $\beta_k=4.608\times10^3$. We have studied all factors which affect the complex formation. Beer-Lambert was obeyed within the range (0.2-6) mg/l with a detection limit of 0.052 mg/l. The developed method was examined on Iron standard solutions, and the Relative Standard Deviation is ($\text{RSD}\%\leq4.76$), and the recovery (98.3-105)%. All results showed the accuracy, reliability and confirming the possibility of using the reagent to determination of Iron

Keywords: 4-[
[(4-amino-3-hydroxyphenyl) diazenyl]-3-hydroxynaphthalene-1-sulfonic acid, Direct Spectrophotometric Method, Determination of Iron (II) by Visible spectrophotometric range.

*Professor, Department of Chemistry, Faculty of Science, Latakia University, Latakia, Syria.

**PhD Student, Department of Chemistry, Faculty of Science, Latakia University, Latakia, Syria

مقدمة:

احتلت مطيافية الأشعة فوق البنفسجية والمرئية باستخدام الكواشف العضوية مكانة لا يُستهان بها بين الطرائق الطيفية نظراً لإمكانياتها الكبيرة ولاتساع المجالات البحثية التي يمكن أن تغطيها هذه الطريقة، كتحديد ثوابت تشكّل المعقدات، ومعامل الإمتصاص المولي، وعدد التساند، ونسبة الارتباط في جزيئة المعقد المتشكل [1]. يُعد الحديد من العناصر الضرورية للإنسان؛ إذ يلعب دوراً رئيساً في نمو الخلايا ونقل الأوكسجين، ويؤدي انخفاض سوياته إلى فقر الدم، الشعور بالتعب، ضعف المناعة وفقدان الشهية [2]. وهو من العناصر الهامة في الصناعة مثل: (التعدين، الأصبغة، الأسمدة، المواد الغذائية والأدوية) [3].

درست امكانية تشكيل معقد ملون بين الحديد (II) والكافاف 4-هيدروكسي-3-(2-هيدروكسي فينيل) ميثنامينو بنزن حمض السلفون؛ إذ تشكّل معقد ملون عند طول موجة امتصاص أعظمي $\lambda_{\text{max}} = 415 \text{ nm}$ عند $\text{pH} = 5$ ، كان قانون بير-لامبرت محققاً ضمن مجال تراكيز تراوح بين $(0.1-5) \mu\text{g/ml}$ وبعد كشف قدره $0.04 \mu\text{g/ml}$ وبمعامل امتصاص مولي يساوي $2.27 \times 10^4 \text{ l.mol}^{-1}.\text{cm}^{-1}$ [4]. تم تحديد الحديد (II) باستخدام الكافاف 3-هيدروكسي-4-[2-هيدروكسي بنزيلدين] أمينو] نفتالين-1-حمض السلفونيك من خلال تشكيل معقد بلون أصفر في وسط مائي عند $\lambda_{\text{max}} = 420 \text{ nm}$ و $\text{pH} = 6$ ، وكانت الخطية محققة ضمن مجال التراكيز $0.1-6 \text{ mg/l}$ وببلغت قيمة كل من معامل الامتصاص المولي وحد الكشف $1.1 \times 10^5 \text{ l.mol}^{-1}.\text{cm}^{-1}$ و 0.064 mg/l على التوالي [5]. طُبقت طريقة طيفية بسيطة وسريعة وحساسة لتحديد نزر الحديد (II) باستخدام الكافاف 5-(4-أيثيل فينيل آزو)-2-هيدروكسي بنزالدهيد أوكسيم، من خلال تشكيل معقد ملون عند $\text{pH} = 5.2$ و $\lambda_{\text{max}} = 486 \text{ nm}$ ، وكانت الخطية محققة ضمن مجال التراكيز $1-6 \text{ mg/l}$ ، وبمعامل امتصاص مولي قدره $3.46 \times 10^{+3} \text{ l.mol}^{-1}.\text{cm}^{-1}$ وبلغت قيمة كل من حد الكشف وحساسية ساندل $0.05 \mu\text{g/ml}$ و $0.015 \mu\text{g/cm}^2$ على التوالي، استُخدمت هذه الطريقة بنجاح على العينات الصيدلانية [6]. حُدد الحديد (II) بطريقة طيفية باستخدام الملح الصوديومي للكافاف 1-نتروزو-2-نفتول-3،6-ثنائي حمض السلفون وهكساديكل ثلاثي ميثنيل بروميد الأمونيوم؛ إذ تشكّل معقد ملون عند $\text{pH} = 5.5$ وبعد كشف قدره $0.8 \times 10^{+5} \text{ l.mol}^{-1}.\text{cm}^{-1}$ وحد الكشف $6.7 \times 10^{-8} \text{ mol/l}$ على التوالي، وكانت الخطية محققة ضمن مجال التراكيز تراوح بين $9.5 \times 10^{-5} \text{ mol/l}$ - $9.5 \times 10^{-7} \text{ mol/l}$ [7]. طُبقت طريقة طيفية لتحديد الحديد (II) باستخدام الكافاف N-(2-هيدروكسي بنزيلدين)-2-أمينوفينول ساليسيلين-О-أمينوفينول، من خلال تشكيل معقد ملون عند $\lambda_{\text{max}} = 420 \text{ nm}$ و $\text{pH} = 4.8$ ، وكانت الخطية محققة ضمن مجال التراكيز 1 mg/l ، وبعد كشف قدره 0.004 mg/l وببلغت قيمة معامل الامتصاص المولي $5.2 \times 10^{+4} \text{ l.mol}^{-1}.\text{cm}^{-1}$ ، طُبقت هذه الطريقة بنجاح على عينات مخبرية [8]. تم تحديد الحديد (II) بطريقة طيفية استخلاصية باستخدام الكافاف 2،4،6-ثلاثي (2-بيريديل)-3،1،5-تريازين من خلال تشكيل معقد ملون معه عند $\lambda_{\text{max}} = 600 \text{ nm}$ ، واستخلاصه بوساطة مذيب يتكون من كلوريد الكوليں و4-كلوروفينول وبلغت قيمة معامل الامتصاص المولي قدره $2.26 \times 10^4 \text{ l.mol}^{-1}.\text{cm}^{-1}$ وكانت الخطية محققة ضمن مجال التراكيز 1 mg/l و $5-100 \mu\text{g/l}$ وبعد كشف قدره $1.2 \mu\text{g/l}$ ، طُبقت هذه الطريقة بنجاح على عينات المياه [9]. حُدد الحديد الثنائي بطريقة طيفية مباشرة باستخدام الكافاف 2-هيدروكسي-1-نفتالدهيد-P-هيدروكسي بنزوئيك هيدرازون؛ إذ تشكّل معقد ملون عند $\lambda_{\text{max}} = 405 \text{ nm}$ و $\text{pH} = 5$ وبعد كشف قدره $0.01-1 \text{ mg/l}$ وببلغت قيمة كل من معامل الامتصاص المولي

وحد كشف قدره $5.6 \times 10^4 \text{ l.mol}^{-1} \cdot \text{cm}^{-1}$ على التوالي، وكانت الخطية محققة ضمن مجال التراكيز $(\mu\text{g/ml})$ (0.095-0.055-1.373)، طُبقت هذه الطريقة بنجاح على عينات مختلفة (مياه، سبائك، حيوية) [10]. استُخدمت طريقة طيفية مطورة لتحديد الحديد (II) باستخدام هيدرالازين هيدروكلوريد من خلال تشكيل معقد ملون عند $\lambda_{\max} = 538 \text{ nm}$ و $\text{pH} = 7$ ، وكانت الخطية محققة ضمن مجال التراكيز $(\mu\text{g/ml})$ (0.1-6) معنده كشف قدره $0.06 \mu\text{g/ml}$ ، ونسبة التفاعل بين الكاشف والحديد هي (Fe:L) 1:2، طُبقت هذه الطريقة بنجاح على عينات بيئية [11]. حُددت كمية الحديد (II) في الأقراص الدوائية باستخدام حمض ثيوجلايكوليک في وسط حمضي؛ إذ تشكّل معقد ملون عند طول موجة امتصاص أعظمي $\lambda_{\max} = 540 \text{ nm}$ وكانت الخطية محققة ضمن مجال التراكيز $(\mu\text{g/ml})$ (1-10) [12]. استُخدمت طريقة طيفية استخلاصية لتحديد الحديد (II) باستخدام الكاشف 2-أمينو-4-(3-نيتروفينيل آزو) بيريدين-3-ول من خلال تشكيل معقد ملون عند $\lambda_{\max} = 644 \text{ nm}$ و $\text{pH} = 3.8$ ، وبلغت قيمة معامل الامتصاص المولى وحد الكشف $1.09 \times 10^5 \text{ l.mol}^{-1} \cdot \text{cm}^{-1}$ و 6 ng/ml على التوالي، وكان قانون بير محققاً ضمن مجال التراكيز (ng/ml) (20-450)، طُبقت هذه الطريقة بنجاح على عينات مياه وتربيه [13]. اصطُنع الكاشف 4-هيدروكسي-3،5-ثنائي ميتوكسي بنزالديهيد-4-هيدروكسي بنزويل هيدرازون لتحديد الحديد (II) بطريقة طيفية مباشرة، تشكّل معقد ملون عند $\lambda_{\max} = 400 \text{ nm}$ و $\text{pH} = 4$ وكانت قانون بير محققاً ضمن مجال التراكيز $(\mu\text{g/ml})$ (0.139-1.396)، وبلغت قيمة كل من معامل الامتصاص المولى وحساسية ساندل $3.09 \times 10^4 \text{ l.mol}^{-1} \cdot \text{cm}^{-1}$ و $0.0018 \mu\text{g/ml}$ على التوالي، طُبقت هذه الطريقة بنجاح على السبائك [14].

أهمية البحث وهدفه:

تتجلى أهمية البحث في تطوير طريقة تحليلية لتحديد الحديد الثنائي بطريقة طيفية بسيطة وسريعة غير مكلفة، تمتاز بدقة وصحة عاليتين وسهولة التطبيق في المحاليل المائية لعينات بيئية وغذائية ودوائية، وتتلخص أهداف البحث في: استخدام الكاشف لتحديد الحديد في المحاليل المائية بالطريقة الطيفية الضوئية من خلال تشكيل معقد معه، وتحديد حد الكشف دراسة الخصائص الطيفية للمعقد المتشكل، ثم مقارنته مع كواشف عضوية أخرى.

طرائق البحث ومواده:

اعتمد اسلوب البحث العلمي التطبيقي القائم على دراسة آلية تشكّل المعقدات وتحديد الشروط المثلث لتشكلها سواء في الوسط المائي أو في الطور العضوي، وتركزت الطريقة على المحاور الآتية: اختيار درجة pH المثلث ودرجة الحرارة المثلث لتشكل المعقد، اختبار عدد من المذيبات واختيار المذيب الأمثل، تحديد نسبة الارتباط بين الكاشف والحديد (II)، تعين ثابت تشكّل المعقد ومعامل الامتصاص المولى وتحديد تركيز الكاشف الأمثل وسلسل الإضافات، تحديد المجال الخطي ودراسة تأثير الايونات المعيقة، واخيراً اختبار الطريقة على عينات تجريبية محضرة مخبرياً للحديد (II)، بالإضافة إلى إمكانية الاستفادة من المسح المرجعي الذي أجري في هذا المجال والتواصل مع ما يستجد في هذا الموضوع من خلال شبكة الانترنت وبعض الدوريات المتخصصة المتاحة.

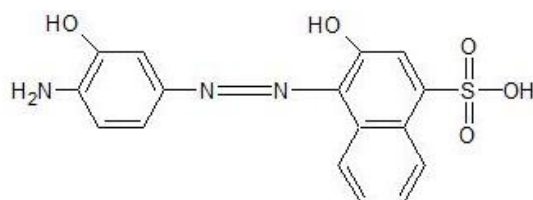
الأدوات والأجهزة المستخدمة:

- 1- جهاز مطيافية الأشعة المرئية وفوق البنفسجية من إنتاج شركة PG INSTRUMENTS نموذج T60.
- 2- مقاييس pH/mv من إنتاج شركة Sartorius مزود بمسرى زجاجي جمعي.
- 3- ميزان تحليلى بدقة 0.0001 من نوع Sartorius.
- 4- أدوات زجاجية مختلفة من بياسير ودوراق حجمية بحجوم مختلفة.

المواد الكيميائية المستخدمة:

استخدمت مجموعة من المواد الكيميائية النقية لإنجاز هذا البحث وهي:

- 1 حمض السلفون مُحضر -2 هيدروكسي فينيل [ديازينيل] -3- أمينو-4-أمينو-
- [] مسبقاً.



- 2- أسيتون من صنف Analar إنتاج شركة BDH البريطانية % 99.5
- 3- الميثanol والإيثانول والساليسيل الدهيد والاست الدهيد بنقاوة لا تقل عن % 99 .
- 4- مجموعة من الحموض كحمض البور، حمض كلور الماء، حمض الكبريت، حمض الخل، حمض الفوسفور.
- 5- ملح مور O(NH₄)₂SO₄.FeSO₄.6H₂O .97%

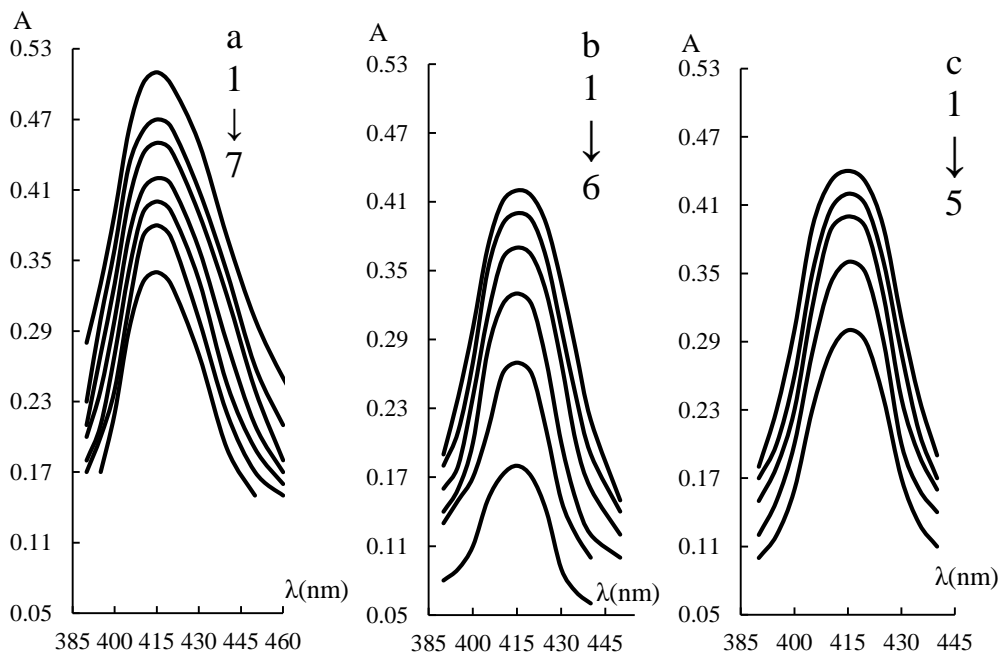
النتائج والمناقشة:

1- دراسة تشكل معقد بين الحديد (II) والكافش:

Study the formation of a complex between Fe (II) and reagent

تم إضافة 1ml من الحديد (II) بتركيز $8.952 \times 10^{-4} \text{ mol.l}^{-1}$ و 1ml من الكافش بتركيز 8.952×10^{-3} mol.l⁻¹ و 2ml من المحاليل المنظمة كلاً على حدى، لُحظ بداية تلون المحاليل المحتونة على الحديد (II) بلون أصفر برتقالي ضمن مجال من درجات pH تراوحت بين 4-12 بوجود منظم البريتون، في حين تلوّنت المحاليل الشاهدة بلون بنفسجي باهت، وتبين عند اجراء المسح الطيفي في المجال المرئي وفوق البنفسجي وجود قمة امتصاص اعظمية عند 415 nm. مما يدل على تشكيل المعقد بين الحديد (II) والكافش المقترن.

استبدل مرة منظم البريتون بمنظم الخلات (3.5-9) pH= (6-10)، ثم بمنظم الفوسفات (6-10) pH= (1-c)، فلُحظ تشكيل المعقد أيضاً ضمن كامل مجال pH بالنسبة لكلا المحلولين المنظمين.



شكل (1) : a - المسح الطيفي للمعقد بوجود منظم البريتون عند درجات pH مختلفة وفق الترتيب الآتي:
 $(\text{pH}): 1(5), 2(6), 3(4), 4(7), 5(8), 6(9), 7(10)$.

b - المسح الطيفي للمعقد بوجود منظم الخلات عند درجات pH مختلفة وفق الترتيب الآتي:
 $(\text{pH}): 1(4), 2(5), 3(6), 4(7), 5(8), 6(9)$.

c - المسح الطيفي للمعقد بوجود منظم الفوسفات عند درجات pH مختلفة وفق الترتيب الآتي:
 $(\text{pH}): 1(7), 2(8), 3(6), 4(9), 5(10)$.

$$[\text{L}] = 3.581 \times 10^{-4} \text{ mol.l}^{-1}, [\text{Fe}^{2+}] = 3.581 \times 10^{-5} \text{ mol.l}^{-1}, \lambda_{\text{max}} = 415 \text{ nm}$$

نستنتج من الشكل (1-a) أن امتصاصية المعقد تزداد مع ارتفاع قيمة pH منظم البريتون لتبلغ أقصى

قيمة لها عند

$\text{pH} = 5$ لتعود وتختفي بعد تلك القيمة، وبتكرار التجربة السابقة مرة أخرى ولكن بوجود منظم الخلات مرة ومنظم الفوسفات مرة أخرى، كانت قيمة pH المثلثى عند 4 من أجل منظم الخلات و 7 من أجل منظم الفوسفات.

2- اختيار الجملة المنظمة المثلثى لتشكيل المعقد:

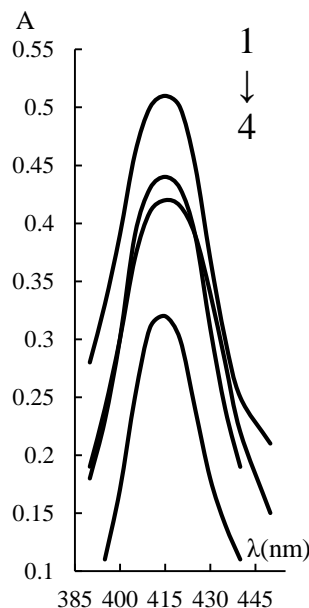
Selection the optimal buffer solution for complex formation

اعتمدت هذه الدراسة على تشكيل المعقد عند درجات pH المثلثى لكل منظم، أي $\text{pH} = 5$ لمنظم

البريتون و

$\text{pH} = 4$ لمنظم الخلات و $\text{pH} = 7$ لمنظم الفوسفات، (تركـت إحدى الدوارق من دون إضافة منظم لمقارنة امتصاصية المعقد مع مثيلاتها بوجود المنظمات الثلاثة)، إذ استـخدمـت دوارق حجمية سعة 25ml ووضعـ في كل منها 1ml من الحديد (II) المحضر بتركيز $8.952 \times 10^{-4} \text{ mol.l}^{-1}$ و 1ml من الكاشف المحضر بتركيز $8.952 \times 10^{-3} \text{ mol.l}^{-1}$ و 2ml من المحاليل المنظمة كـلـاً منها وفقـاً لـدرجـة الـpHـ المـثلـىـ،ـ تركـتـ الدوارـقـ لـمـدةـ نـصـفـ سـاعـةـ ثـمـ أـكـمـلـ الـحـجـمـ بـالـمـاءـ ثـنـائـيـ التـقطـيرـ حتـىـ إـشـارـةـ التـدـريـجـ.ـ لـحـظـ عـنـدـ اـجـرـاءـ المسـحـ الطـيفـيـ الشـكـلـ (2)،ـ بـأـكـبـرـ قـيـمـةـ لـامـتـصـاصـيـةـ المعـقـدـ كـانـتـ بـوـجـودـ منـظـمـ البرـيتـونـ،ـ ولـدىـ مـراـقبـةـ اـمـتـصـاصـيـةـ

المعقد المتشكل مع مرور الزمن تبين أن امتصاصية المعقد ثابتة لمدة لا تقل عن 24 ساعة بوجود المنظمات الثلاثة، لذا اعتمد إضافة منظم البريتون في الدراسات اللاحقة.



شكل (2): المسح الطيفي للمعقد بوجود ثلاثة محليل منظمة عند درجات pH المثلى وفق الترتيب الآتي:

(المنظم) : 1 (بريتون)، 2 (فوسفات)، 3 (خلات)، 4 (بدون منظم).

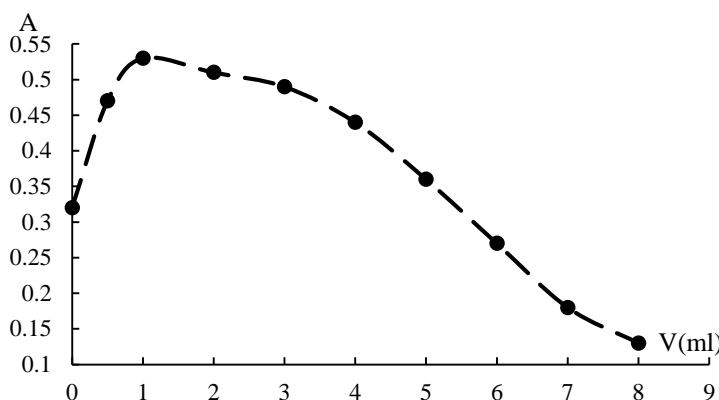
$$[\text{L}] = 3.581 \times 10^{-4} \text{ mol.l}^{-1}, [\text{Fe}^{2+}] = 3.581 \times 10^{-5} \text{ mol.l}^{-1}, \lambda_{\text{max}} = 415 \text{ nm}.$$

3- اختيار حجم محلول منظم البريتون الأمثل لتشكيل المعقد:

Selection of the optimal Britton buffer solution volume for complex formation

تمت هذه الدراسة باستخدام دوارق حجمية سعة 25ml؛ إذ وضع في كل منها 1ml من الحديد (II) المحضر بتركيز قدره $8.952 \times 10^{-4} \text{ mol.l}^{-1}$ و 1ml من الكافش المحضر بتركيز $8.952 \times 10^{-3} \text{ mol.l}^{-1}$ و حجوم مختلفة من محلول البريتون المنظم عند $\text{pH}=5$ بحيث تراوحت نسبته في دوارق التفاعل ما بين % (2-36)، تركت الدوارق لمدة نصف ساعة بالتوازي مع محليل الشاهد، ثم أكمل الحجم بالماء ثانية التقطير حتى إشارة الترigo.

بيّنت الدراسة التجريبية بأن امتصاصية المعقد تزداد لتبلغ قيمتها العظمى عند نسبة منظم البريتون 4% من حجم دوارق التفاعل، يوضح الشكل (3) تغيير امتصاصية المعقد عند حجوم متزايدة من منظم البريتون.



شكل(3): العلاقة البيانية بين امتصاصية المعقد وحجم منظم البريتون.

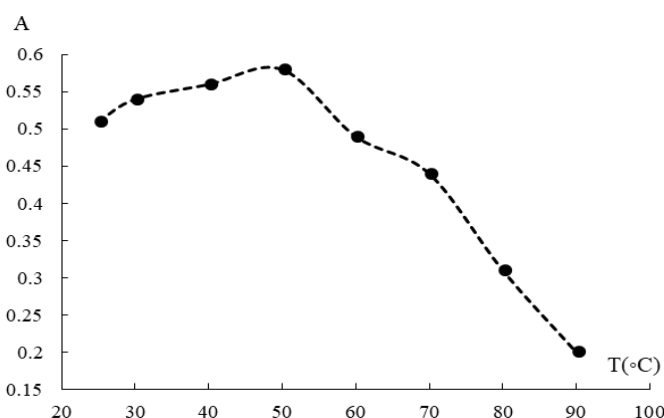
$$[L] = 3.581 \times 10^{-4} \text{ mol.l}^{-1}, [Fe^{2+}] = 3.581 \times 10^{-5} \text{ mol.l}^{-1}, pH = 5, \lambda_{\max} = 415 \text{ nm.}$$

4- تأثير درجة الحرارة في امتصاصية المعقد المتشكل:

Effect of temperature on the absorbance of the formation complex

درس تأثير تغير درجة الحرارة في امتصاصية المعقد المدروس ضمن المجال °C (30-90) باستخدام دوارق حجمية سعة 25ml، إذ وضع في كل منها 1ml من الحديد (II) المحضر بتركيز قدره 8.952×10^{-4} mol.l⁻¹ و 1ml من الكاشف تركيزه 8.952×10^{-3} mol.l⁻¹ و 1ml من منظم البريتون pH=5، تركت المحاليل في درجات الحرارة المدروسة لمدة نصف ساعة، ثم بُررت في جو المختبر لمدد بعد ذلك بالماء ثانٍ التقطير حتى إشارة التدريج (تركى عينة من المحاليل في جو المختبر كشاهد).

لُحظ عند إجراء المسح الطيفي وتسجيل قيم الامتصاصية عند 415 nm، الشكل (4) بأن لدرجة الحرارة تأثير ايجابي في امتصاصية المعقد المتشكل؛ إذ ازدادت امتصاصية المعقد مع ارتفاع درجة الحرارة مقارنةً مع امتصاصية المعقد المتشكل في درجة حرارة المختبر، لتبلغ أكبر قيمة لها عند درجة الحرارة 50°C لتعود وتتحفظ بعد ذلك وبالتالي اعتمدت درجة الحرارة 50°C كدرجة حرارة مناسبة لتشكل المعقد بين الحديد (II) والكاشف في الدراسات اللاحقة.

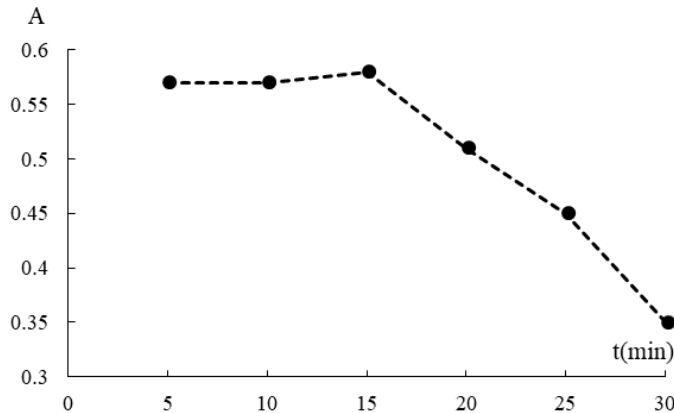


شكل (4): العلاقة بين امتصاصية المعقد عند درجات حرارة مختلفة.

$$[L] = 3.581 \times 10^{-4} \text{ mol.l}^{-1}, [Fe^{2+}] = 3.581 \times 10^{-5} \text{ mol.l}^{-1}, pH = 5, \lambda_{\max} = 415 \text{ nm}, V_{Britton} = 1 \text{ ml.}$$

درس تأثير زمن التسخين في امتصاصية المعقد المتشكل؛ إذ تم تسخين محاليل المعقد المدروس لفترات زمنية مختلفة في درجة الحرارة المثلث (50°C)، وعند اجراء المسح الطيفي ودراسة العلاقة بين

الامتصاصية والزمن تبيّن أن امتصاصية المعقد المتشكل قبل أعلى قيمة لها عند زمن تسخين ما بين 5-(min) 15) لتنخفض بعد ذلك مع ازيداد زمن التسخين الشكل (5)، لذلك اعتمد زمن التسخين 5 min في الدراسات اللاحقة.



شكل (5): العلاقة بين امتصاصية المعقد وزمن التسخين.

$[L] = 3.581 \times 10^{-4} \text{ mol.l}^{-1}$, $[Fe^{2+}] = 3.581 \times 10^{-5} \text{ mol.l}^{-1}$, $pH = 4$, $\lambda_{max} = 415 \text{ nm}$, $V_{Britton} = 1\text{ml.}$, $T = 50^\circ\text{C}$.

5- تأثير بعض المذيبات العضوية القابلة للامتصاص على امتصاصية المعقد :

Effect of some organic solvent mixable with water on complex absorbance

درس تأثير سبعة مذيبات عضوية قابلة للامتصاص على امتصاصية المعقد المدروساً عند وجودها بسبعين نسب مؤدية تراوحت بين (2-40)%، إذ أضيف 1ml من الحديد (II) في دوارق حجمية سعة 25ml و 1ml من الكافش و 1ml من منظم البريتون pH= 5 ثم أضيفت سبعة حجوم متزايدة من كل مذيب على حدٍ وفق تجارب عدة مستقلة، تُركت المحاليل لمدة نصف ساعة في جو المختبر، ثم سُخنت المحاليل لدرجة الحرارة (50 °C) لمدة 5 دقائق وُثرت لتبرد في جو المختبر ليُكمل بعدها الحجم بالماء ثانية التقطير حتى إشارة الترينج. تبيّن بعد إجراء المسح الطيفي وتسجيل قيم الامتصاصيات عند $\lambda_{max} = 415 \text{ nm}$ ، أن المعقد يتشكّل مهما اختلفت طبيعة المذيب المضاف ونسبة الجدول (1)، لكن امتصاصية المعقد كانت تتناقص مع ازيداد نسبة المذيب في دورق التفاعل، وعند مقارنة قيم الامتصاصيات التي تم الحصول عليها تبيّن أن امتصاصية المعقد تبلغ أعلى قيمة لها عند تشكيله في وسط مائي فقط دون إضافة أي من المذيبات المذكورة أعلاه، لذلك اعتمد على تشكيل المعقد في وسط مائي في الدراسات اللاحقة.

جدول(1): تغير امتصاصية المعقد مع تغير طبيعة المذيب العضوي المضاف ونسبة المئوية.
 $pH = 5$, $\lambda_{max} = 415 \text{ nm}$, $V_{Britton} = 1\text{ml}$, $T = 50^\circ\text{C}$, $t = 5\text{min}$, $[L] = 3.581 \times 10^{-4} \text{ mol.l}^{-1}$, $[\text{Fe}^{2+}] = 3.581 \times 10^{-5} \text{ mol.l}^{-1}$

A بروبان ديول 2,1	A إيثيل غلوكول	A أسيتال الدهيد	A إيثانول	A ميثانول	A أسيتونتريل	A أسيتون	نوع المذيب نسبة المئوية %
0.47	0.51	0.41	0.36	0.28	0.54	0.51	2
0.48	0.51	0.43	0.38	0.31	0.55	0.53	4
0.49	0.52	0.45	0.37	0.3	0.56	0.54	8
0.5	0.52	0.46	0.35	0.32	0.55	0.53	16
0.47	0.51	0.42	0.34	0.31	0.54	0.5	24
0.44	0.49	0.4	0.31	0.26	0.52	0.49	32
0.41	0.48	0.38	0.28	0.21	0.5	0.5	40
امتصاصية المعقد في وسط مائي: $A = 0.58$							

6- تحديد نسبة الارتباط للمعقد المتشكل (طريقة النسب المولية):

Determination of the Linked ratio for the formed complex (Molar ratio method)

تحضر وفقاً لطريقة Jop والتي عدتها Vosburgh [16,15] سلسلة من محليل المعقد المدروس يتغير فيها تركيز المرتبطة L بانتظام مع بقاء تركيز الأيون المعدني المدروس ثابتاً ثم تفاص الامتصاصية بدلاًلة نسبة التركيز الجزيئي (المولي) للمرتبطة إلى التركيز الجزيئي (المولي) للأيون المدروس.

$$A = f \frac{[L]}{[M]}$$

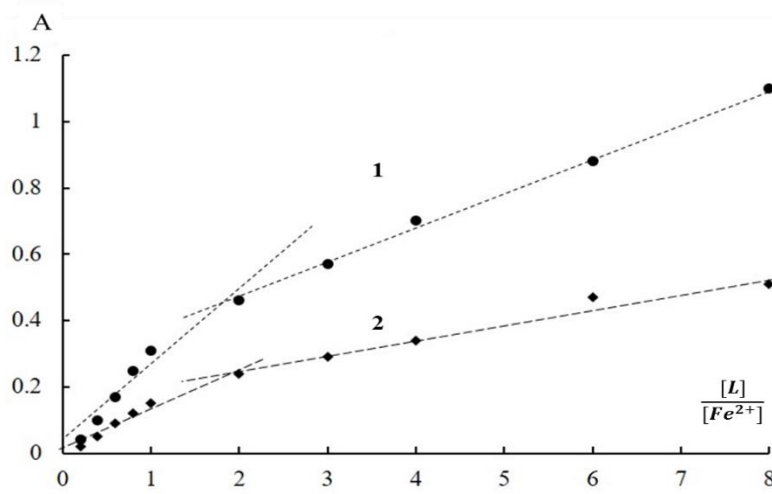
يتم الحصول عندما يتغير ميل هذه العلاقة الخطية بتغيير تركيب المعقد المتشكل على خط مستقيم ينكسر عند تلك النقاط التي تتوافق مع تركيب المعقدين المتشكلة في المحاليل المدرosa.
 يُبين الشكل (6) وجود نقطة انكسار وحيدة على كلا المنحنين تقابل نسبة مولية قدرها (2) من أجل

تركيزين مختلفين للحديد (II) $C_2 = 3.581 \times 10^{-5} \text{ mol.l}^{-1}$ و $C_1 = 7.162 \times 10^{-5} \text{ mol.l}^{-1}$ ، أي أن المعقد المتشكل من الشكل (2).

جدول (2): معطيات طريقة النسب المولية لتحديد نسبة الارتباط في المعقد.

$\text{pH} = 5, \lambda_{\text{max}} = 415 \text{ nm}, V_{\text{Britton}} = 1\text{ml}, T = 50^\circ\text{C}, t = 5\text{min.}$

النسبة المولية	امتصاصية المعقد $C_2 = 3.581 \times 10^{-5} \text{ mol.l}^{-1}$	امتصاصية المعقد $C_1 = 7.162 \times 10^{-5} \text{ mol.l}^{-1}$
0.2	0.02	0.042
0.4	0.05	0.1
0.6	0.09	0.17
0.8	0.12	0.25
1	0.15	0.31
2	0.24	0.46
3	0.29	0.57
4	0.34	0.7
6	0.47	0.88
8	0.51	1.1



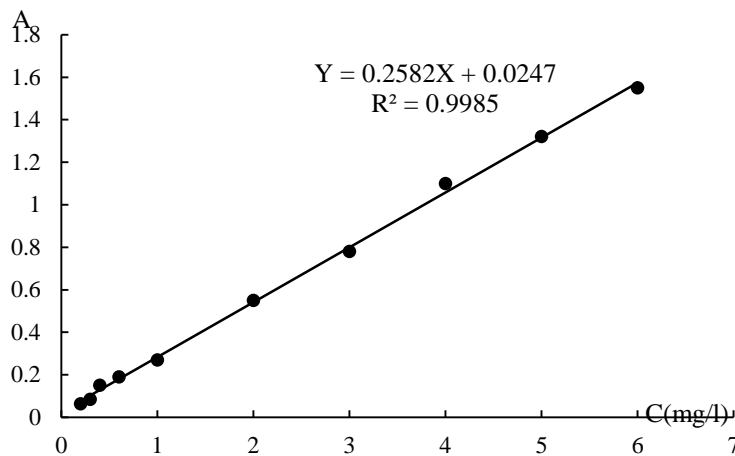
شكل (6): تغير امتصاصية المعقد المتشكل بدالة النسب المولية.

$C_1 = 7.162 \times 10^{-5} \text{ mol.l}^{-1}$, $C_2 = 3.581 \times 10^{-5} \text{ mol.l}^{-1}$, $\text{pH} = 5$, $V_{\text{Britton}} = 1\text{ml}$, $T = 50^\circ\text{C}$, $\lambda_{\text{max}} = 415 \text{ nm}$.

7- المنحني العياري لتحديد الحديد (II) باستخدام الكاشف:

The calibration curve for determination of Iron (II) using reagent

حدد المجال الخطى لتركيز الحديد (II) الذى يحقق قانون بير-لامبرت وذلك من أجل تحديده طيفياً باستخدام الكاشف آخذين بالحساب جميع الشروط المثالىة التي تمت دراستها سابقاً. يبين الشكل (7) أفضل خط مستقيم تم الحصول عليه بطريقه أصغر المرربعات حاسوبياً. يلحظ من الشكل أن قانون بير-لامبرت يكون محققاً ضمن المجال (0-0.2 mg/l) وهذا يقابل تركيزاً مولياً قدره $10.743 \times 10^{-5} \text{ mol.l}^{-1}$ وأن معادلة أفضل خط مستقيم هي من الشكل $A = m.c + b$ ، وأن قيمة معامل الارتباط $R^2 = 0.9985$ ، وبالتالي قانون بير-لامبرت يتحقق بدرجة ممتازة ضمن المجال المعتمد لهذه الدراسة.



شكل(7): المنحني العياري لتحديد الحديد (II) باستخدام الكاشف.

[L]= 10.743×10^{-4} mol.l⁻¹, pH=5, V_{Britton} = 1ml, T=50°C, t=5 min $\lambda_{\text{max}}=415$ nm.

Effect of Blocked Ions

8- تأثير الأيونات المعيقة

تمت دراسة تأثير العديد من الأيونات المعيقة في تشكيل المعقد المدروساً وذلك عند الشروط المثلث لتشكيله؛ إذ وُجد أن بعض الأيونات تعيق تشكيله عندما تكون بتركيز مولي يماثل تركيز الشاردة المدروسة وبعضاًها لا يبدأ تأثيرها إلا بوجودها بتركيز مولي يبلغ 4 أضعاف أو أكثر من ذلك، كما أن هناك العديد من الأيونات لم تؤثر في تشكيل المعقد حتى عند وجودها بتركيز يساوي 10 ضعفاً من تركيز الحديد (II)، الجدول (3).

جدول(3): الأيونات المعيقة وغير المعيقة ونسبة الأيونات المؤثرة في تشكيل المعقد.

$C_{Fe^{2+}}=3.581 \times 10^{-5}$ mol.l⁻¹, pH = 5, V_{Britton} = 1ml, T=50°C, t= 5min, $\lambda_{\text{max}}=415$ nm.

الأيونات المعيقة			الأيونات غير المعيقة
1:4	1:2	1:1	
Mn ²⁺ , Pb ²⁺ , Ca ²⁺ , Ba ²⁺ , Hg ²⁺ , Al ³⁺ , Fe ³⁺	Cd ²⁺ , Ni ²⁺ , Zn ²⁺ , Cr ³⁺ , Cu ²⁺	Zr ⁴⁺ , Co ²⁺ , Mg ²⁺ , Ag ⁺	Na ⁺ , K ⁺ , HPO ₄ ²⁻ , CH ₃ COO ⁻ , Cl ⁻ , PO ₄ ³⁻ , NH ₄ ⁺ , I ⁻ .

9- الدراسة الإحصائية للطريقة التحليلية المقترحة:

The Statistical study of the proposal analytical method

يبين الجدول (4) نتائج التحليل التي تم الحصول عليها من عينات تجريبية تم تحضيرها مخبرياً والتي تؤكد أن الطريقة المقترحة تمتاز بدقة وصحة جيدتين؛ إذ تحقق ميزة الصحة من خلال المردود النسبي المئوي (98.3-105)% ، أما دقة الطريقة فتتميز بالقيمة المنخفضة للانحراف المعياري ($SD \leq 0.027$) وبالتالي للانحراف المعياري النسبي المئوي ($RSD \leq 4.76\%$)، كما حسب كل من الخطأ المعياري التحليلي ASE، وحد الثقة CL عند مستوى ثقة 95% ، والخطأ النسبي في المردود RE% ووُجد أنه يقع عند النسبة $101.65 \pm 3.35\%$ وهو ضمن الحدود المقبولة تحليلياً، وهكذا تؤكد هذه النتائج امكانية تطبيق الطريقة المقترحة تحليلياً.

جدول(4): النتائج الاحصائية التحليلية لتقدير صحة ودقة الطريقة الطيفية المقترحة لتحديد الحديد (II).

pH= 5, V_{Britton} = 1ml, T=50°C, t= 5min, $\lambda_{\text{max}}=415$ nm.

CL _{95%} , mg/l	ASE, mg/l	Re%	RSD%	SD, mg/l	C _{Fe²⁺} , mg/l	
					C _{found} (\bar{X})	C _{taken}

0.21±0.025	0.006	105	4.76	0.01	0.21	0.2
0.41±0.037	0.009	102.5	3.70	0.015	0.41	0.4
0.59±0.044	0.01	98.3	2.97	0.018	0.59	0.6
0.81±0.049	0.012	101.25	2.47	0.020	0.81	0.8
1.01±0.049	0.012	101	1.98	0.020	1.01	1
2.03±0.063	0.015	101.5	1.24	0.025	2.03	2
3.02±0.018	0.015	100.67	0.88	0.027	3.02	3
4.03±0.063	0.015	100.75	0.63	0.025	4.03	4
5.02±0.049	0.012	100.5	0.40	0.020	5.02	5
6±0.025	0.006	100.4	0.17	0.01	6	6

Calculation the limit of detection

- حساب حد الكشف:

حسب حد الكشف انطلاقاً من العلاقة الآتية [1]:

$$DL = \sqrt{s_0^2 \frac{n-2}{n-1} \times \frac{t}{b}}$$

حيث n عدد النقاط المختارة من المنحنى العياري و b ميل المنحنى العياري و t معامل ستودنت عند

سوية ثقة مقدارها 95% و s_0^2 معامل تباين يعبر عنه بالعلاقة الآتية: $s_0^2 = \frac{\sum(A_{exp} - A_{cal})^2}{n-2}$ حيث A_{exp} الامتصاصية العملية و A_{cal} الامتصاصية المحسوبة من علاقة المنحنى العياري.

جدول(5): المعطيات الحسابية لحد الكشف في تحديد الحديد (II) باستخدام الكاشف المدروس.

$$Y = 2.2582X + 0.0247, \text{ معادلة المنحنى العياري}$$

X _i	A _{exp}	A _{cal}	A _{exp} -A _{cal}	(A _{exp} -A _{cal}) ²
0.2	0.063	0.076	-0.013	0.000169
0.4	0.15	0.13	0.02	0.0004
0.6	0.19	0.18	0.01	0.0001
0.8	0.24	0.23	0.01	0.0001
1	0.27	0.28	-0.01	0.0001
2	0.55	0.54	0.01	0.0001
3	0.78	0.8	-0.02	0.0004
4	1.1	1.06	0.04	0.0016
5	1.32	1.32	0	0
6	1.55	1.57	-0.02	0.0004
				0.003369

$$DL = \sqrt{s_0^2 \frac{n-2}{n-1} \times \frac{t}{b}} = \sqrt{3.743 \times 10^{-4} \times \frac{8}{9} \times \frac{2.262}{0.2582}} = 0.052 \text{ mg/l}$$

وضعت مجمل النتائج التي تم الحصول عليها في تحديد الحديد (II) طيفياً بوساطة الكاشف المقترن

في الجدول (6).

جدول (6): الخصائص الطيفية للمعقاد المتشكل والشروط المثلث لتشكله.

نوع محلول المنظم ونسبة	بريتون، 8%
درجة pH الوسط	5

30	الזמן اللازم لتشكيل المعقد، دقيقة
(50)	درجة الحرارة (°C)
5	زمن التسخين (min)
1	زمن استقرار المعقد، يوم
بنفسجي باهت	لون الكاشف
أصفر-برتقالي، 415	لون المعقد و λ_{max} nm
1:2	نسبة الارتباط L:Fe
$(0.381-10.743) \times 10^{-5}$	المجال التحليلي الخطى، mol/l
(0.2-6)	المجال التحليلي الخطى mg/l
2.2582	الميل
0.9985	معامل الارتباط
$2.664 \times 10^{+4}$	معامل الامتصاص المولى (شفارتنباخ) $1.\text{mol}^{-1}.\text{cm}^{-1}$
$4.608 \times 10^{+3}$	ثابت تشكيل المعقد، β_k
0.052	حد الكشف، mg/l

تمت مقارنة النتائج التي تم الحصول عليها للكاشف المدروس مع كواشف مرجعية أخرى، كما هو موضح في الجدول (7).

جدول (7): مقارنة الخصائص الطيفية للكاشف المدروس مع كواشف مرجعية لتحديد الحديد (II).

المجال الخطى	حد الكشف	ϵ ($1.\text{mol}^{-1}.\text{cm}^{-1}$)	pH	λ_{max} (nm)	اسم الكاشف	المراجع
(0.1-5) $\mu\text{g/ml}$	0.04 $\mu\text{g/ml}$	2.27×10^4	5	415	4-هيدروكسي-3-(2-هيدروكسي فينيل) ميثان أمينو بنزن حمض السلفون	4
(0.1-6) mg/ml	0.064 mg/l	$1.1 \times 10^{+5}$	6	420	3-هيدروكسي-4-[2-هيدروكسي بنزيلدين] أمينو نفالين-1-حمض السلفونيak	5
(1-6) mg/ml	0.05 $\mu\text{g/ml}$	$3.46 \times 10^{+3}$	5.2	486	-5-(4-إيثيل فينيل آزو)-2-هيدروكسي بنزالدهيد أوكسيم	6
(0.01-1) mg/l	0.004 mg/l	$5.2 \times 10^{+4}$	4.8	420	-N-هيدروكسي بنزيلدين)-2-أمينو فينول ساليسيلين-O-أمينو فينول	8
(0.095) $\mu\text{g/ml}$	(0.095) $\mu\text{g/ml}$	$5.6 \times 10^{+4}$	5	405	-2-هيدروكسي-1-نفتالدهيد-P-هيدروكسي بنزوئيك هيدرازون	10
(0.1-6) $\mu\text{g/ml}$	0.06 $\mu\text{g/ml}$	-	7	538	هيدرالازين هيدروكلوريد	11
(20-450) ng/ml	6 ng/ml	$1.09 \times 10^{+5}$	3.8	644	-2-أمينو-4-(3-نيتروفينيل آزو) بيريدين-3-ول	13

الاستنتاجات:

تم استخدام كاشف عضوي جديد ولأول مرة في تحديد الحديد الثنائي بطريقة طيفية مباشرة في المجال المرئي؛ إذ شكل معقداً بلون أصفر عند $\text{pH}=5$ ، $\lambda_{\text{max}}=415 \text{ nm}$ ونسبة ارتباط ($C_{\text{Fe:L}} = 1:2$) في درجة الحرارة 50°C وزمن تسخين 5 دقائق.

بلغت قيمة معامل الامتصاص المولى $2.664 \times 10^{+4} \text{ l.mol}^{-1} \cdot \text{cm}^{-1}$ وثبتت تشكل المعقد $4.608 \times 10^{+3}$ وبعد كشف قدره 0.052 mg/l وكانت الخطية محققة ضمن مجال التراكيز $(0.2-6) \text{ mg/l}$.

المراجع:

- [1] MAAROUF, M. KAHILA, B. ISMAIEL, A. 2019, *Chemical Analytical Study for Determination Nickel (II) in Aqueous Solutions Using Organic Reagent (HPHMAB) by Spectrophotometric Method*, Tishreen University Journal for Research and Scientific Studies-Basic Sciences Series SYRIA. Vol. 41, No. 2, 85-104.
- [2] AHMED, M. ISLAM, M. HOSSAIN, M. 2015, *A Simple Spectrophotometric Method for the Trace Determination of Iron in Some Real, Environmental, Biological, Food, Pharmaceutical and Soil Samples Using 2-aminophenol*, American Chemical Science Journal BANGLADESH. Vol. 7, No 4, 236-253.
- [3] ZANNAT, T. AHMED, M. 2014, *A simple and rapid spectrophotometric method for the determination of iron in environmental, biological, pharmaceutical, food and soil samples using 1,2-dihydroxybenzene-3,5-disulfonic acid*, European Journal of Chemistry BANGLADESH. Vol. 5, No. 1, 101-110.
- [4] MAAROUF, M. DEBANY, L. 2016, *Analytical Studying of Determination Iron (II) Ions in Aqueous Solutions Using 4-Hydroxy-3-[(2-hydroxy phenyl) methylene] amino benzene Sulphonic Acid by Spectrophotometric Method*, Tishreen University Journal for Research and Scientific Studies-Basic Sciences Series SYRIA. Vol. 38, No. 2, 83-97.
- [5] MAAROUF, M. ISMAIEL, A. 2024, *Determination of Iron (II) in Aqueous Solutions Using Organic Reagent 3-Hydroxy-4-[(2-hydroxy benzylidene) amino] naphthalene-1- Sulphonic Acid by Spectrophotometric Method*. Tishreen University Journal for Studies and Scientific Research- Basic Sciences Series SYRIA. Vol. 46, No. 5, 81-101.

- [6] ABDULLAH, M. 2020, *Spectrophotometric Determination of Fe(II) and Fe(III) Using 5-(4-Ethylphenyl azo) 2-Hydroxybenzaldehyde Oxime Reagent.* Journal of Pure and Applied Sciences IRAQ. Vol. 33, No. 6, 21-29.
- [7] CHENG, F. ZHANG, T. SUN, T. WANG, Y. ZHOU, C. ZHU, H. LI, Y.2021, *A simple, sensitive and selective spectrophotometric method for determining iron in water samples,* Microchemical Journal CHAINA. Vol.165, 1-4.
- [8] Kumar, V. Singh, M. 2020, *Spectrophotometric determination of Fe(II) using Schiff base ligands derived from salicylaldehyde.* Journal of Analytical Chemistry INDIA. Vol. 75, No. 2, 123-129.
- [9] DOOR, N. BAZMANDEGAN-SHAMILI, A. MOGHADAM, M. 2019. *Spectrophotometric determination of iron species using ultrasound-assisted temperature-controlled deep eutectic solvent dispersive liquid-phase microextraction and multisimplex optimisation.* International Journal of Environmental Analytical Chemistry IRAN. Vol. 101, No. 2, 251-262.
- [10] DEVI, V. REDDY, V. 2011. *Spectrophotometric Determination of Iron (II) and Cobalt(II) by Direct, Derivative, and Simultaneous Methods Using 2-Hydroxy-1-Naphthaldehyde-p-Hydroxybenzoichydrazone.* International Journal of Analytical Chemistry (Hindawi Publishing Corporation) INDIA. Vol. 2012, 1-17.
- [11] GONSALVES,A. ARAÚJO,C. GALHARDO, C. 2011. *Hydralazine Hydrochloride: An Alternative Complexometric Reagent for Total Iron Spectrophotometric Determination.* American Journal of Analytical Chemistry (Scientific Research) BRAZIL Vol. 2, 776-782.
- [12] GAROLE, D. 2012. *Application of UV Spectrophotometric Method for Estimation of Iron in Tablet dosage form.* International Journal of PharmTech Research INDIA. Vol. 4, No. 1, 309-310.
- [13] KASSEM, M. AMIN, A. 2013. *Spectrophotometric determination of iron in environmental and food samples using solid phase extraction.* Food Chemistry (ELSEVIER) EYEGPT. Vol. 141, 1941-1946.
- [14] DEVI, Ch. KRISHNA, D. 2012. *Determination of Iron (II) and Iron (III) in Presence of Micellar Medium Using 4-Hydroxy 3, 5 Dimethoxy Benzaldehyde 4-Hydroxy Benzoyl hydrazone by Spectrophotometry.* International Journal of Green and Herbal Chemistry INDIA. Vol. 1, No 3, 256-263.
- [15] MAAROUF, M. KAHILA, B. ISMAIEL, A. 2019. *An analytical study by Spectrophotometric method for determination of cobalt (II) in aqueous solutions by using organic reagent (HPHMAB).*Chemistry Research Journal. SYRIA. Vol. 4, No .2, 176-184.
- [16] BABAYEVA, K. DEMIR, S. ANDAC, M. 2017. *A novel spectrophotometric method for the determination of copper ion by using a salophen ligand,N,N-disalicylidene-2,3-diaminopyridine.* Journal of Taibah University for Science TURKY. Vol. 11, 808-814.